

日大大学院・理工 学 山 中 康 資
日本大学理工学部 正 大 津 岩 夫

下流水深が跳水必要水深よりも小さい場合、シル型減勢工が多く用いられている。基本的形状である鉛直連続シルを越える流れの流況は、I型跳水、II型跳水、飛散流況に分類され、各流況の形成される水理条件が大津¹⁾によって明確にされた。シルに作用する抗力については、二三の研究が報告されているが^{2),3)}抗力と各流況の特性との関連やシルに作用する圧力の大きさ、分布形状など不明な点が多い。この研究は、鉛直連続シルによる強制跳水(I、II型跳水)と飛散流況が形成される場合のシルに作用する流体力、特にシル前面に作用する全圧力について論じたものである。

1. 実験

Fig.1に示される水平水路に、長方形鉛直連続シル($S = 2\text{cm}, 3\text{cm}, 4\text{cm}, 4.5\text{cm}, 6\text{cm}$)を設置し、シル前後面の中央に圧力取り出し孔を設け、それにマノメーターを接続し圧力を測定した。

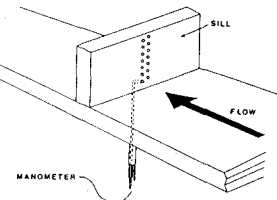


Fig.1

2. シルに作用する圧力とその分布

① I型跳水 I型跳水とは、シル前方の流況が下流水深の影響を受ける跳水である¹⁾(Fig.2)。シル前面に作用する圧力 P_f を与えられた $\frac{x_s}{L_f}$, $\frac{S}{h_1}$ に対して、 $\frac{P_f}{wh_1}$ と $\frac{S}{h_1}$ の関係で整理した一例をFig.3に示す。圧力の大きさは、 F_f が大きいと大きくなる傾向がある。また、分布形状は、シル上部で圧力が小さくなり、シル下部で圧力が再び大きくなる傾向がある。なお、シル後面に作用する圧力は、ほぼ静水圧に等しい。

② II型跳水 II型跳水とは、シル前方の流況が下流水深の影響を受けない跳水である¹⁾(Fig.4)。シル前面に作用する圧力 P_f を与えられた $\frac{S}{h_1}$ に対して、 $\frac{P_f}{wh_1}$ と $\frac{S}{h_1}$ の関係で整理した一例をFig.5に示す。圧力の大きさ、分布形状ともI型跳水の場合と類似の傾向を示す。なお、シル後面に作用する圧力は、下流水深によって大きく変化する。

③ 飛散流況 飛散流況とは、射流状態でシル上を飛散する流況である¹⁾(Fig.6)。シル前面に作用する圧力は、II型跳水の場合と同様の傾向を示す(Fig.7)。シル後面に作用する圧力は、大気圧に等しい。

3. シル前面に作用する全圧力

① I型跳水 I型跳水を支配する水理量間の関係は、式(1)で示される¹⁾

$$f\left(\frac{h_2}{h_1}, F_f, \frac{S}{h_1}, \frac{x_s}{L_f}\right) = 0 \quad (1)$$

シル前面に作用する全圧力 P_f を支配する水理量間の関係は、式(2)によって示されるものと推論される。

* I型跳水のシルに作用する抗力については、昨年の全国大会で発表者である⁴⁾

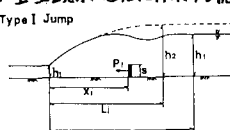


Fig.2

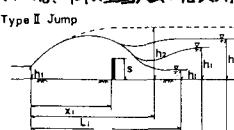


Fig.4



Fig.6

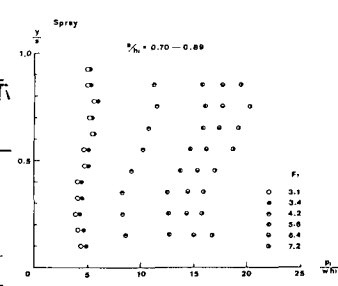


Fig.3

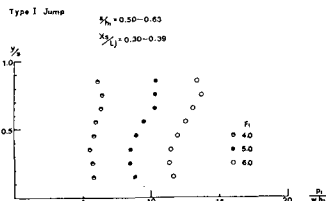


Fig.5

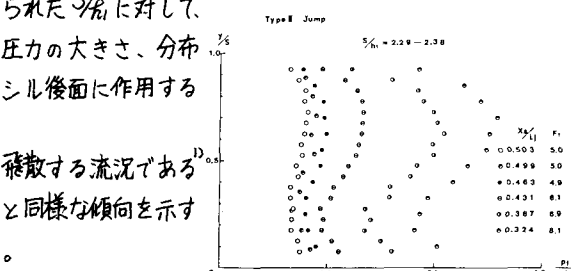


Fig.7

$$f(P_f, g, h_i, \chi_s, S, f_i, g, \rho) = 0 \quad (2)$$

$$\text{ここで, } P_f = \int_0^S P_f dy \quad (3)$$

次元解析的な考察から、式(4)が得られる。

$$f(P_f / \frac{1}{2} w h_i^2, F_i, S/h_i, \chi_s/L_j, h_i/h_i) = 0 \quad (4)$$

式(1)と式(4)から、I型跳水のシル前面に作用する全圧力は、式(5)の関係で示さ
れる。

$$\frac{P_f}{\frac{1}{2} w h_i^2} = f(F_i, \frac{S}{h_i}, \frac{\chi_s}{L_j}) \quad (5)$$

式(5)に基づき実験値を整理すると、Fig.8のように良い相関が示され実験式(6)
が得られる。なお、図中の実線は式(6)を示し、破線はI型跳水とII型跳水の境界
を示す。

$$\frac{P_f}{\frac{1}{2} w h_i^2} = 0.532 \left(\frac{\chi_s}{L_j} \right)^{0.587} \left(\frac{S}{h_i} \right)^{1.070} (F_i)^{1.640} \quad (6)$$

$$0.30 \leq \chi_s/L_j \leq 0.70, \quad 0.50 \leq S/h_i \leq 2.39, \quad 3.0 \leq F_i \leq 9.5$$

② II型跳水 II型跳水を支配する水理量間の関係は、式(7)で示される。¹²⁾

$$f(S/h_i, F_i, \chi_s/L_j) = 0 \quad (7)$$

シル前面に作用する全圧力 P_f を支配する水理量間の関係は、式(8)によつて示
されるものと推論される。

$$f(P_f, g, h_i, \chi_s, S, f_i, g, \rho) = 0 \quad (8)$$

次元解析的な考察および式(7)から、II型跳水のシル前面に作用する全圧力は、
式(9)の関係で示される。

$$\frac{P_f}{\frac{1}{2} w h_i^2} = f(F_i, \frac{S}{h_i}) \quad (9)$$

式(9)に基づき実験値を整理すると、Fig.9のように良い相関が示され実験式
(10)が得られる。なお、図中の実線は式(10)を示し、破線はII型跳水と飛散流況の
境界を示す。

$$\frac{P_f}{\frac{1}{2} w h_i^2} = 2.843 \left(\frac{S}{h_i} \right)^{1.345} (F_i)^{0.907} \quad (10)$$

$$(\chi_s/L_j)_{min} \leq \chi_s/L_j \leq 0.6 \sim 0.7, \quad 1.64 \leq S/h_i \leq 3.51, \quad 3.0 \leq F_i \leq 12.0$$

③ 飛散流況 飛散流況の場合、 P_f を支配する水理量間の関係は、式(8)によつ
て示されるものと推論され、次元解析的な考察および $\chi_s/L_j = 0$ から、シル前面に
作用する全圧力は、II型跳水と同様に式(9)で示される。式(9)に基づき実験値を整
理すると、Fig.10のように良い相関が示され実験式(11)が得られる。

$$\frac{P_f}{\frac{1}{2} w h_i^2} = 0.934 \left(\frac{S}{h_i} \right)^{1.395} (F_i)^{1.640} \quad (11)$$

$$0.50 \leq S/h_i \leq 1.89, \quad 3.0 \leq F_i \leq 9.5$$

最後に、本研究を行うにあたつて、御指導いただいている栗津清蔵教授に感謝
申し上げます。

(記号) F_i : 跳水始端のフルード数 g : 重力加速度 h_i : 跳水始端の水深 h_i : 下流水深 L_j : 自由跳水の場合の跳水長 S : シル幅 ρ : 水密度

χ_s : 跳水始端からシル前面までの長さ y : 水底床からの高さ w : 水単位体積重量 (ρg)

$$L_j = \frac{1}{2} ((\sqrt{F_i} + 1)^2 - 1)^{1/2}$$

(参考文献) 1) 大津大輔「鉛直シルによる強制跳水」土木学会論文報告集第31号 1981.7 2) Rajaratnam & Muthiah, "A CONTRIBUTION TO FORCED HYDRAULIC JUMPS" Journal of Hy. Res. 1971. 9 No. 2 3) Narendran & Schlier, "FORCE ON SILL OF FORCED JUMP" A.S.C.E. Hy. July 1980 4) 山中大津
"シル作用におけるシル" 第3回土木学会年講 II. 1983. 9 5) 山中大津 "シル作用におけるシル" 第11回関東支部年講 II. 1984. 1

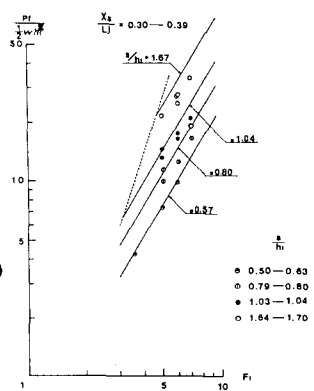


Fig. 8

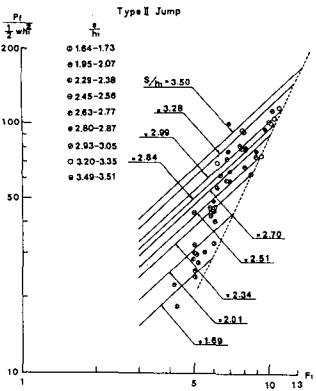


Fig. 9

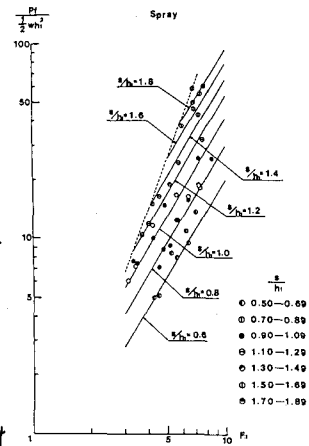


Fig. 10